

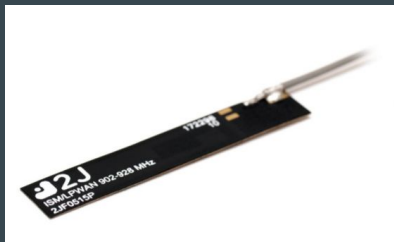
Especificación de Sistemas



Comunicaciones Digitales

Temario

- Antenas
- Líneas de transmisión
- Linealidad
- Conceptos de Figura de Ruido
- Ruido de fase



915MHz ISM Flexible Polymer

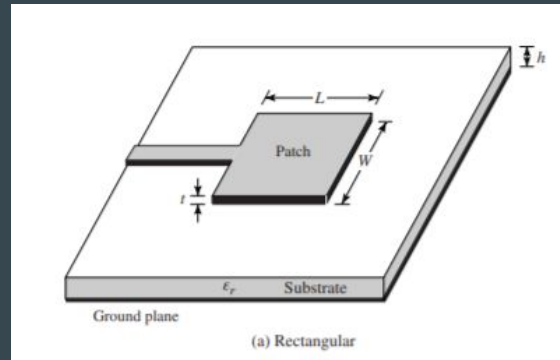
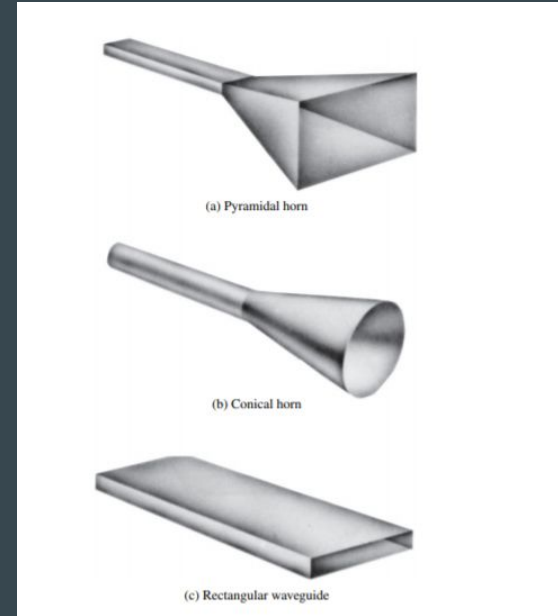
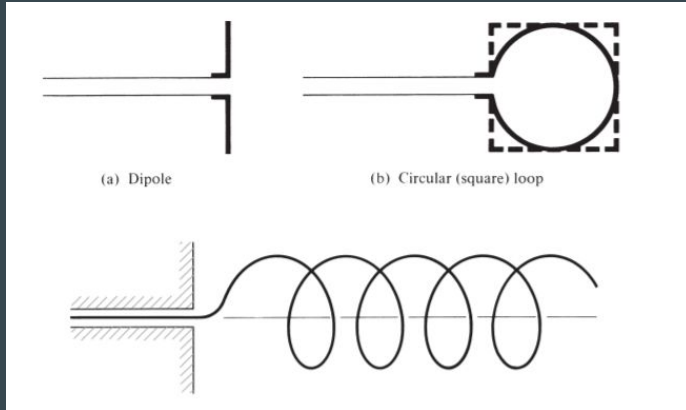
Parameters	915 MHz ISM Antenna
Standards	ZigBee, ISM, SigFox, LoRa
Band (MHz)	915 MHz
Frequency(MHz)	902-928
Return Loss (dB)	~-17.6
VSWR	~1.3:1
Efficiency (%)	~33.6
Peak Gain (dBi)	~0.3
Average Gain (dB)	~-4.7
Impedance (Ohm)	50
Polarization	Linear
Radiation Pattern	Omni-Directional
Max. Input Power (W)	25
Connector Type	U.FL Standard (Other Connectors Available)
Cable Length	100mm Standard (Any Cable Length Available)
Cable Type	1.37mm Mini-Coax Standard (Other Cables Available)



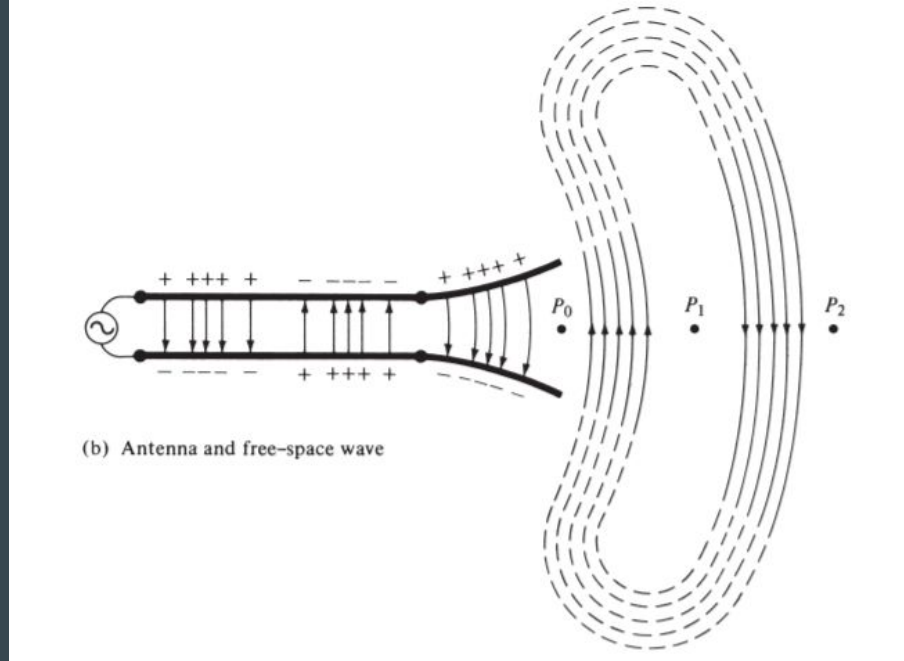
868/915 MHz ISM Adhesive Mount Flexible Polymer Embedded Antenna

Parameters	868/915 MHz ISM Antenna	
Standards	ZigBee, ISM, SigFox, LoRa	
Band (MHz)	868 MHz	915 MHz
Frequency (MHz)	863-870	902-928
Return Loss (dB)	~-8.0	~-21
VSWR	~2.3:1	~1.2:1
Efficiency (%)	~58	~77
Peak Gain (dBi)	~2.7	~3.6
Average Gain (dB)	~-2.3	~-1.1
Impedance (Ohm)	50	
Polarisation	Linear	
Radiation Pattern	Omni-Directional	
Max. Input Power (W)	25	
Connector Type	U.FL Standard (Other Connectors Available)	
Cable Length	100mm Standard (Any Cable Length Available)	
Cable Type	1.37mm Micro-Coax Standard (Other Cables Available)	

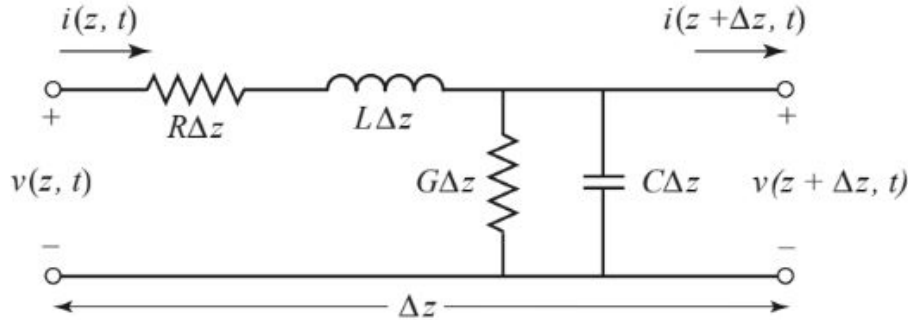
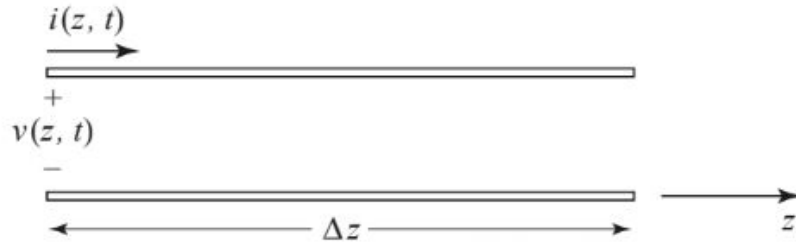
Tipos de antenas



Antena de 2 conductores



Ecuación del telegrafista



$$\frac{\partial v(z, t)}{\partial z} = -Ri(z, t) - L \frac{\partial i(z, t)}{\partial t},$$
$$\frac{\partial i(z, t)}{\partial z} = -Gv(z, t) - C \frac{\partial v(z, t)}{\partial t}.$$

$$\frac{dV(z)}{dz} = -(R + j\omega L)I(z),$$
$$\frac{dI(z)}{dz} = -(G + j\omega C)V(z).$$

$$V(z) = V_o^+ e^{-\gamma z} + V_o^- e^{\gamma z},$$
$$I(z) = I_o^+ e^{-\gamma z} + I_o^- e^{\gamma z},$$

Ecuaciones de línea (sin pérdidas)

$$\frac{V_o^+}{I_o^+} = Z_0 = \frac{-V_o^-}{I_o^-}.$$

$$Z_0 = \sqrt{\frac{L}{C}},$$

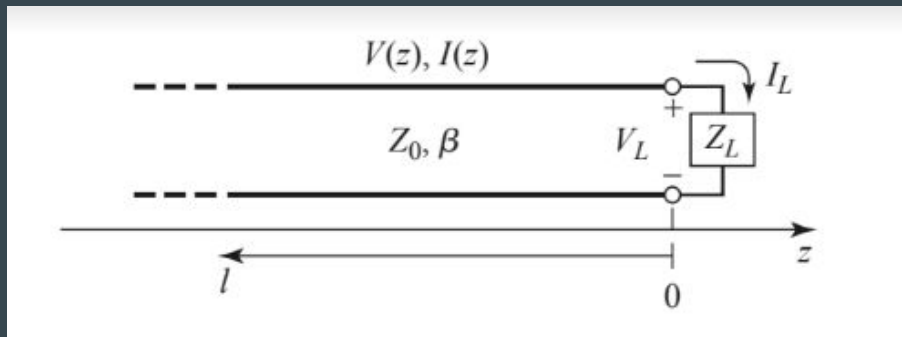
$$\lambda = \frac{2\pi}{\beta},$$

$$V(z) = V_o^+ e^{-j\beta z} + V_o^- e^{j\beta z},$$

$$I(z) = \frac{V_o^+}{Z_0} e^{-j\beta z} - \frac{V_o^-}{Z_0} e^{j\beta z}.$$

Línea terminada sin pérdidas

$$V(z) = V_o^+ e^{-j\beta z} + V_o^- e^{j\beta z},$$
$$I(z) = \frac{V_o^+}{Z_0} e^{-j\beta z} - \frac{V_o^-}{Z_0} e^{j\beta z}.$$



$$Z_L = \frac{V(0)}{I(0)} = \frac{V_o^+ + V_o^-}{V_o^+ - V_o^-} Z_0.$$

$$V(z) = V_o^+ (e^{-j\beta z} + \Gamma e^{j\beta z}),$$
$$I(z) = \frac{V_o^+}{Z_0} (e^{-j\beta z} - \Gamma e^{j\beta z}).$$

$$\Gamma = \frac{V_o^-}{V_o^+} = \frac{Z_L - Z_0}{Z_L + Z_0}.$$

Coefficiente de reflexión de voltaje

Onda estacionaria

$$V(z) = V_o^+ e^{-j\beta z} + V_o^- e^{j\beta z},$$
$$I(z) = \frac{V_o^+}{Z_0} e^{-j\beta z} - \frac{V_o^-}{Z_0} e^{j\beta z}.$$

$$P_{\text{avg}} = \frac{1}{2} \text{Re}\{V(z)I(z)^*\} = \frac{1}{2} \frac{|V_o^+|^2}{Z_0} \text{Re}\{1 - \Gamma^* e^{-2j\beta z} + \Gamma e^{2j\beta z} - |\Gamma|^2\},$$

$$P_{\text{avg}} = \frac{1}{2} \frac{|V_o^+|^2}{Z_0} (1 - |\Gamma|^2),$$

Onda estacionaria

$$V(z) = V_o^+ e^{-j\beta z} + V_o^- e^{j\beta z},$$
$$I(z) = \frac{V_o^+}{Z_0} e^{-j\beta z} - \frac{V_o^-}{Z_0} e^{j\beta z}.$$

Return Loss

$$RL = -20 \log |\Gamma| \text{ dB},$$

Carga adaptada $\Gamma = 0$ \longrightarrow $RL = \infty$ dB (no reflejada)

Se refleja toda la potencia incidente $|\Gamma| = 1$ \longrightarrow $RL = 0$ dB

$$|V(z)| = |V_o^+| |1 + \Gamma e^{2j\beta z}| = |V_o^+| |1 + \Gamma e^{-2j\beta \ell}|$$

$$V_{\max} = |V_o^+| (1 + |\Gamma|).$$

$$V_{\min} = |V_o^+| (1 - |\Gamma|).$$

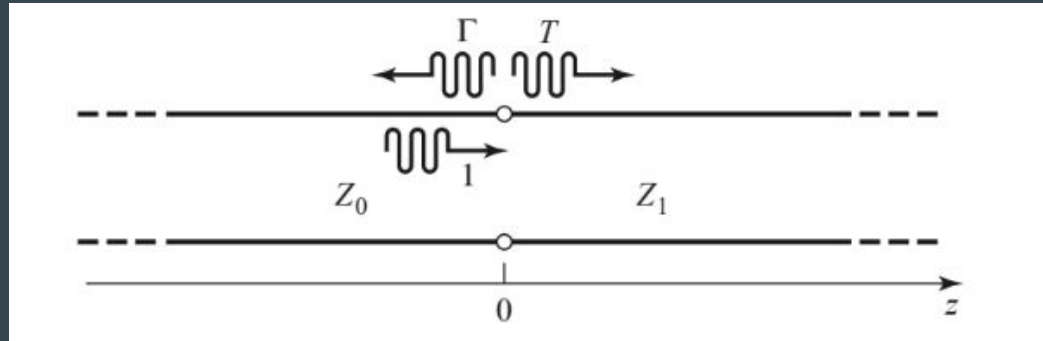
Voltage Standing Wave Ratio (VSWR)

$$SWR = \frac{V_{\max}}{V_{\min}} = \frac{1 + |\Gamma|}{1 - |\Gamma|}.$$

$$1 \leq SWR \leq \infty$$

Pérdidas de inserción

$$\Gamma = \frac{V_o^-}{V_o^+} = \frac{Z_L - Z_0}{Z_L + Z_0}$$



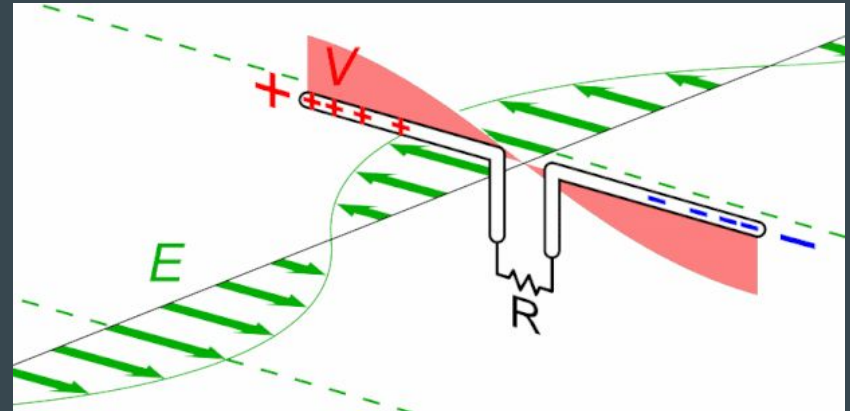
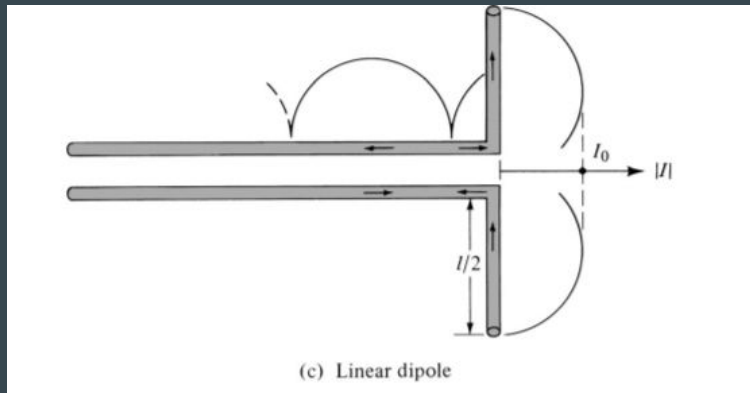
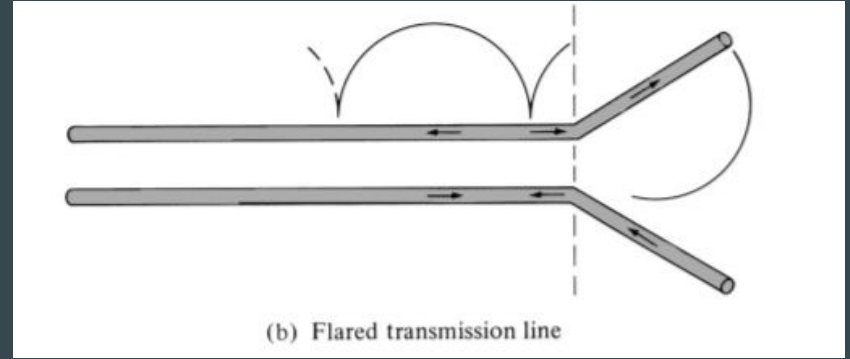
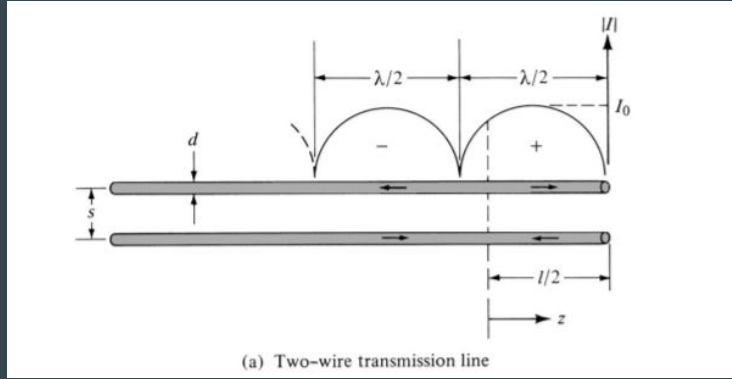
$$\Gamma = \frac{Z_1 - Z_0}{Z_1 + Z_0}$$

$$V(z) = V_o^+ T e^{-j\beta z} \quad \text{for } z > 0.$$

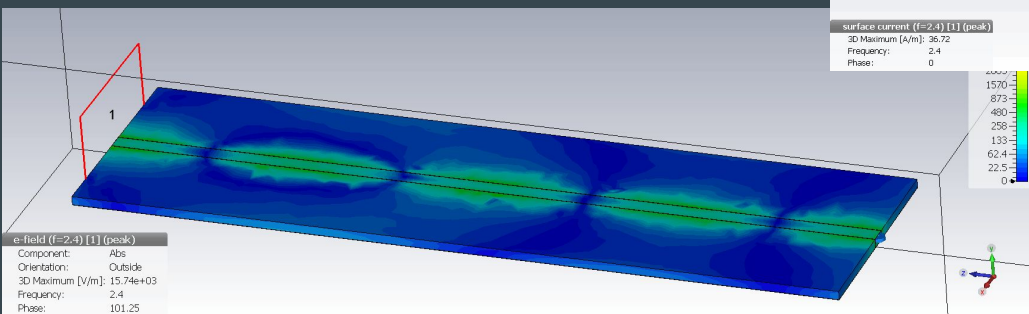
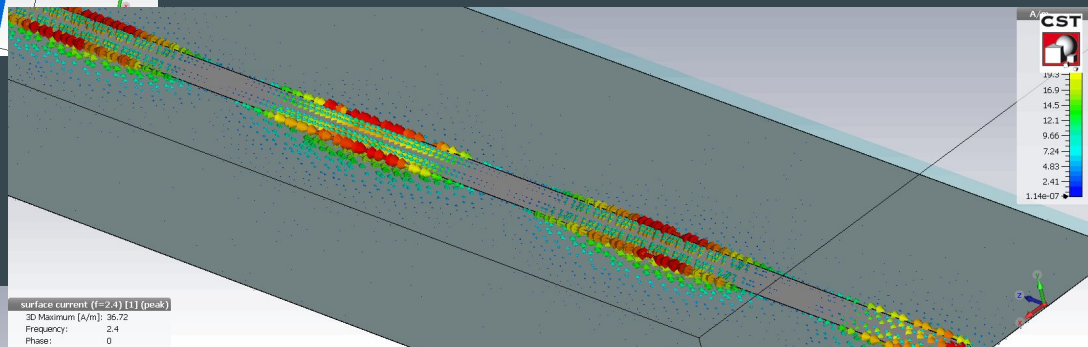
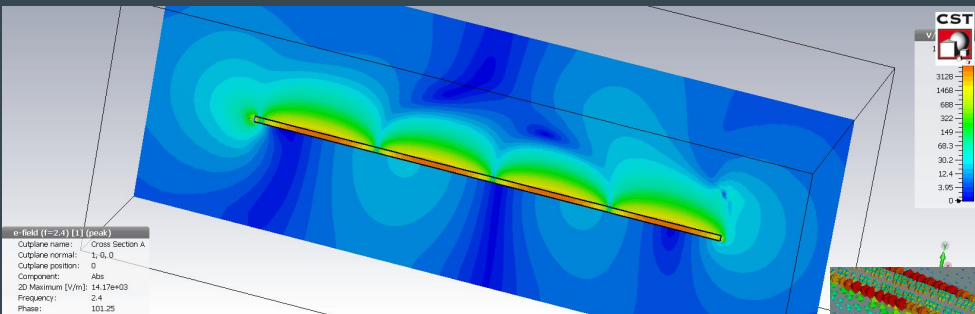
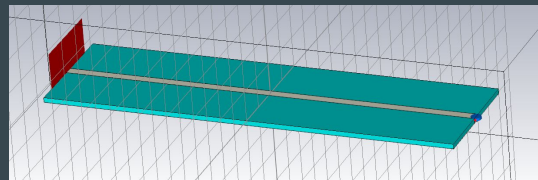
$$T = 1 + \Gamma = 1 + \frac{Z_1 - Z_0}{Z_1 + Z_0} = \frac{2Z_1}{Z_1 + Z_0}$$

$$\text{IL} = -20 \log |T| \text{dB.}$$

Distribución de corriente (línea sin pérdidas)



Microstripline



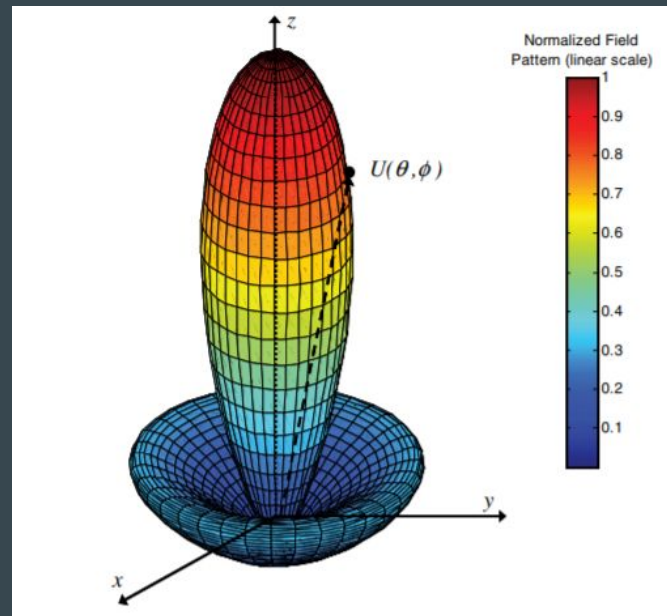
Directividad

$$P_{\text{rad}} = \iint_{\Omega} U d\Omega$$

$$U = r^2 W_{\text{rad}}$$

$$D = \frac{U}{U_0} = \frac{4\pi U}{P_{\text{rad}}}$$

- **Radiation intensity** U : potencia radiada de una antena por unidad de ángulo sólido (W/unit solid angle)
- **Radiation density** W_{rad} : (W/m²)
- **Directivity**: Relación entre la intensidad de radiación en una dirección y el promedio de intensidad de radiación en todas las direcciones ($U_0/4\pi$)



$$e_0 = e_r e_c e_d$$

$$e_0 = e_r e_{cd} = e_{cd}(1 - |\Gamma|^2)$$

$$P_{\text{rad}} = e_{cd} P_{\text{in}}$$

$$e_{cd} = e_c e_d = \text{antenna radiation efficiency,}$$

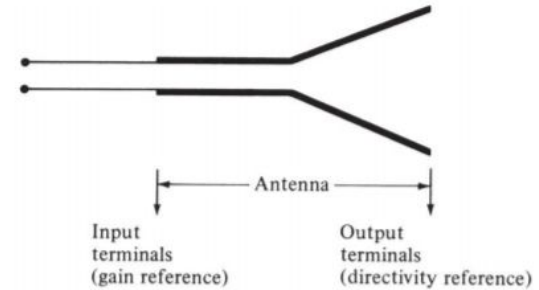
$$\text{Gain} = 4\pi \frac{\text{radiation intensity}}{\text{total input (accepted) power}} = 4\pi \frac{U(\theta, \phi)}{P_{\text{in}}}$$

$$G(\theta, \phi) = e_{cd} D(\theta, \phi)$$

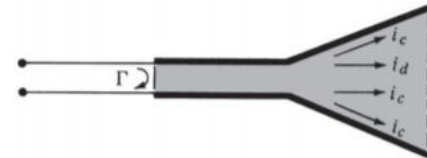
IEEE Standards, : la ganancia no incluye pérdidas por desadaptación

$$\begin{aligned} G_{re}(\theta, \phi) &= e_r G(\theta, \phi) = (1 - |\Gamma|^2) G(\theta, \phi) \\ &= e_r e_{cd} D(\theta, \phi) = e_o D(\theta, \phi) \end{aligned}$$

Realized Gain

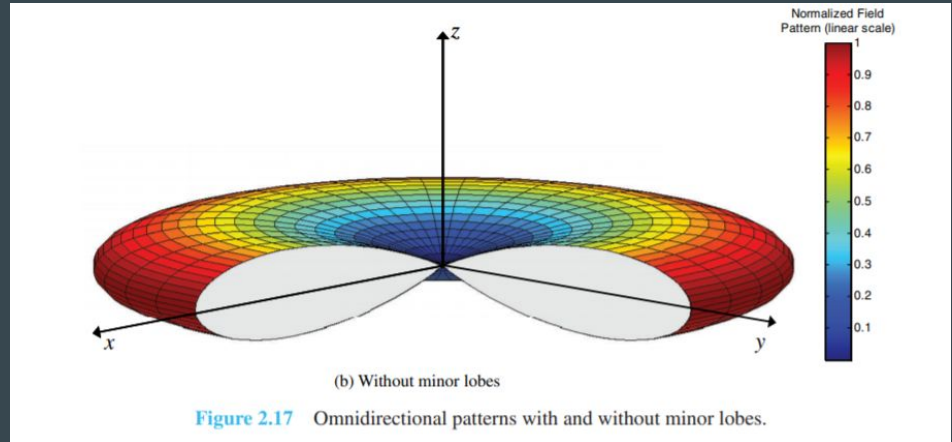


(a) Antenna reference terminals



(b) Reflection, conduction, and dielectric losses

- Directivity de un radiador isotrópico es la unidad porque radia por igual en todas las direcciones



Antena LoRa

TABLE 1. VSWR AND TRANSMISSION LOSS

VSWR	Return Loss (dB)	Reflected Power (%)	Transmiss. Loss (dB)	VSWR	Return Loss (dB)	Reflected Power (%)	Transmiss. Loss (dB)
1	∞	0	0	1.38	15.9	2.55	0.112
1.01	46.1	0.005	0.0002	1.39	15.7	2.67	0.118
1.02	40.1	0.01	0.0005	1.4	15.55	2.78	0.122
1.03	36.6	0.022	0.0011	1.41	15.38	2.9	0.126
1.04	34.1	0.04	0.0018	1.42	15.2	3.03	0.132
1.05	32.3	0.06	0.0028	1.43	15.03	3.14	0.137
1.06	30.7	0.082	0.0039	1.44	14.88	3.28	0.142
1.07	29.4	0.116	0.0051	1.45	14.7	3.38	0.147
1.08	28.3	0.144	0.0066	1.46	14.6	3.5	0.152
1.09	27.3	0.184	0.0083	1.47	14.45	3.62	0.157
1.1	26.4	0.228	0.01	1.48	14.3	3.74	0.164
1.11	25.6	0.276	0.0118	1.49	14.16	3.87	0.172
1.12	24.9	0.324	0.0139	1.5	14	4	0.18
1.13	24.3	0.375	0.016	1.55	13.3	4.8	0.21
1.14	23.7	0.426	0.0185	1.6	12.6	5.5	0.24
1.15	23.1	0.488	0.0205	1.65	12.2	6.2	0.27
1.16	22.6	0.55	0.0235	1.7	11.7	6.8	0.31
1.17	22.1	0.615	0.026	1.75	11.3	7.4	0.34
1.18	21.6	0.682	0.0285	1.8	10.9	8.2	0.37
1.19	21.2	0.75	0.0318	1.85	10.5	8.9	0.4
1.2	20.8	0.816	0.0353	1.9	10.2	9.6	0.44
1.21	20.4	0.9	0.0391	1.95	9.8	10.2	0.47
1.22	20.1	0.98	0.0426	2	9.5	11	0.5
1.23	19.7	1.08	0.0455	2.1	9	12.4	0.57
1.24	19.4	1.15	0.049	2.2	8.6	13.8	0.65
1.25	19.1	1.23	0.053	2.3	8.2	15.3	0.73
1.26	18.8	1.34	0.056	2.4	7.7	16.6	0.8
1.27	18.5	1.43	0.06	2.5	7.3	18	0.88
1.28	18.2	1.52	0.064	2.6	7	19.5	0.95
1.29	17.9	1.62	0.068	2.7	6.7	20.8	1.03
1.3	17.68	1.71	0.073	2.8	6.5	22.3	1.1
1.31	17.4	1.81	0.078	2.9	6.2	23.7	1.17
1.32	17.2	1.91	0.083	3	6	24.9	1.25
1.33	17	2.02	0.087	3.5	5.1	31	1.61
1.34	16.8	2.13	0.092	4	4.4	36	1.53
1.35	16.53	2.23	0.096	4.5	3.9	40.6	2.27
1.36	16.3	2.33	0.101	5	3.5	44.4	2.56
1.37	16.1	2.44	0.106	6	2.9	50.8	3.08

(Chart courtesy of Ramsey Electronics)

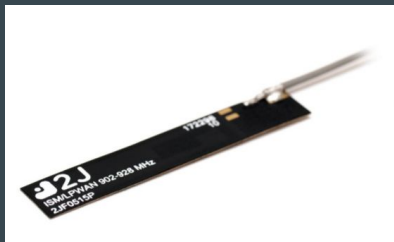
$ \Gamma = \frac{VSWR - 1}{VSWR + 1}$	$RL = -20 \log \frac{VSWR - 1}{VSWR + 1}$	$ML = -20 \log \left\{ 1 - \left[\frac{VSWR - 1}{VSWR + 1} \right]^2 \right\}$
$VSWR = \frac{1 + \Gamma }{1 - \Gamma }$	$RL = -20 \log \Gamma $	$ML = -10 \log \{ 1 - \Gamma ^2 \}$
$ \Gamma = 10^{-\frac{RL}{20}}$	$VSWR = \frac{1 + 10^{-\frac{RL}{20}}}{1 - 10^{-\frac{RL}{20}}}$	$ML = -10 \log \left\{ 1 - \left[10^{-\frac{RL}{20}} \right]^2 \right\}$

SWR =1.2 |Γ|=0.091 RL =20.8dB Pr =0.826%

SWR =1.3 |Γ|=0.13 RL =17.68dB Pr =1.71%

G1= 10log(0.336) -4.7dBi -0.036dB= -9.5dBi

G2= 10log(0.77) -1.1dBi -0.074dB= -2.3dBi



915MHz ISM Flexible Polymer

Parameters	915 MHz ISM Antenna
Standards	ZigBee, ISM, SigFox, LoRa
Band (MHz)	915 MHz
Frequency(MHz)	902-928
Return Loss (dB)	~-17.6
VSWR	~1.3:1
Efficiency (%)	~33.6
Peak Gain (dBi)	~0.3
Average Gain (dB)	~-4.7
Impedance (Ohm)	50
Polarization	Linear
Radiation Pattern	Omni-Directional
Max. Input Power (W)	25
Connector Type	U.FL Standard (Other Connectors Available)
Cable Length	100mm Standard (Any Cable Length Available)
Cable Type	1.37mm Mini-Coax Standard (Other Cables Available)



868/915 MHz ISM Adhesive Mount Flexible Polymer Embedded Antenna

Parameters	868/915 MHz ISM Antenna	
Standards	ZigBee, ISM, SigFox, LoRa	
Band (MHz)	868 MHz	915 MHz
Frequency (MHz)	863-870	902-928
Return Loss (dB)	~-8.0	~-21
VSWR	~2.3:1	~1.2:1
Efficiency (%)	~58	~77
Peak Gain (dBi)	~2.7	~3.6
Average Gain (dB)	~-2.3	~-1.1
Impedance (Ohm)	50	
Polarisation	Linear	
Radiation Pattern	Omni-Directional	
Max. Input Power (W)	25	
Connector Type	U.FL Standard (Other Connectors Available)	
Cable Length	100mm Standard (Any Cable Length Available)	
Cable Type	1.37mm Micro-Coax Standard (Other Cables Available)	

<https://www.mouser.com/Search/Refine?N=14930470>

<https://www.2j-antennas.com/media/original/datasheets/2jf05>

<https://www.2j-antennas.com/media/original/datasheets/2jf04>

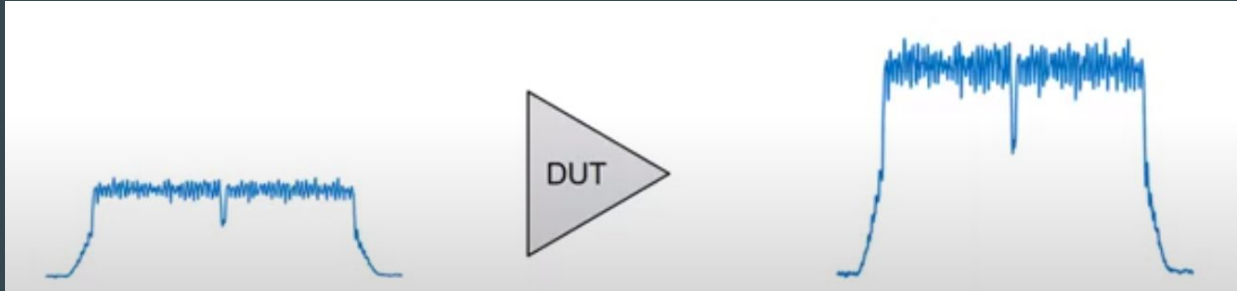
ISM 915Mhz Band Hinge Rotatable Terminal Antenna



Category	Specifications		
Application Band (MHz)	902	915	928
Efficiency(%)			
TA-S10B-A-S9	71.94	80.72	88.51
Average Gain(dBi)			
TA-S10B-A-S9	-1.43	-0.93	-0.53
Peak Gain(dBi)			
TA-S10B-A-S9	3.13	4.02	4.36
Return Loss (dB)	< -10		
V.S.W.R	< 2:1		
Test Condition	With GND: 210 x 125 mm		
Polarization	Linear		
Impedance	50 Ω		
Mechanical Specifications			
Dimension	L:108 mm, Diameter: 10 mm		
Antenna Cover	TPU Black		
Connector	SMA(M)		
Environmental Specifications			
Operating Temperature	-40~85°C		
Storage Temperature	-40~85°C		

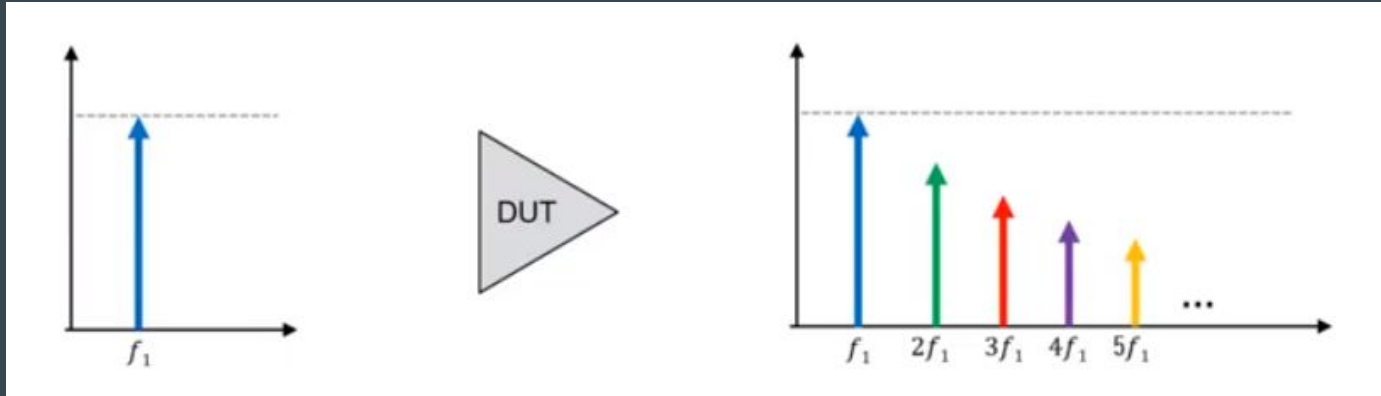
Linealidad

- Salida es directamente proporcional a la entrada
- Típicamente lineal para un rango de potencia de entrada
- Si el dispositivo opera en la zona no-lineal puede crear distorsión en la forma de armónicos y productos de intermodulación



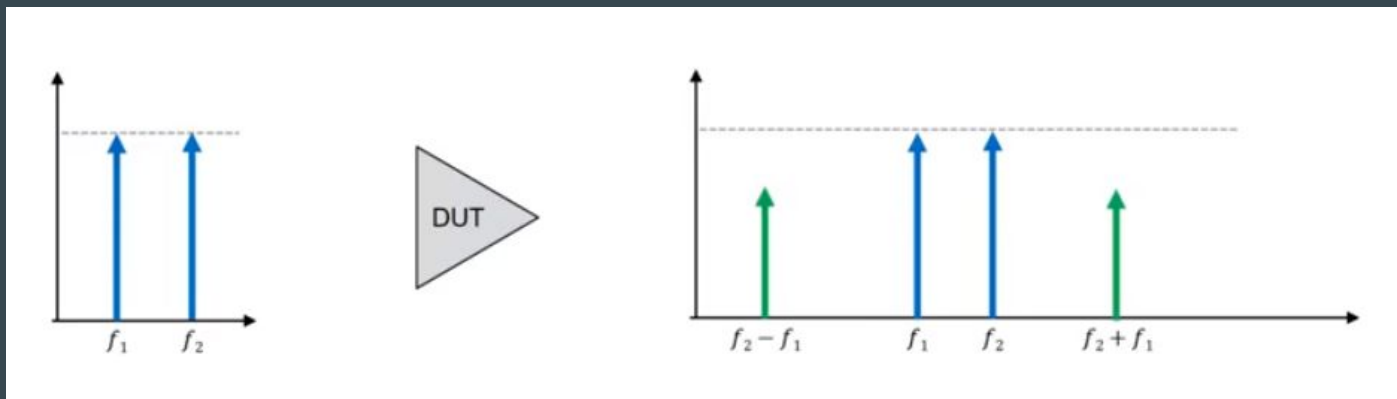
Armónicos

- Copias de la señal en múltiplos enteros de la fundamental
- Amplitud del armónico típicamente decrece cuando aumenta su orden



Intermodulación

- Intermodulación ocurre cuando dos (o más) señales se **mezclan** en un dispositivo no-lineal
- La multiplicación (mezcla) produce nuevas señales en la **suma** y en la **diferencia** de sus frecuencias



Orden de los productos

- Los tonos f_1 y f_2 se mezclan entre sí
- Se pueden mezclar con sus armónicos como ser $2f_1$ y $2f_2$
- Productos adicionales en:

$$2f_1 + f_2$$

$$2f_1 - f_2$$

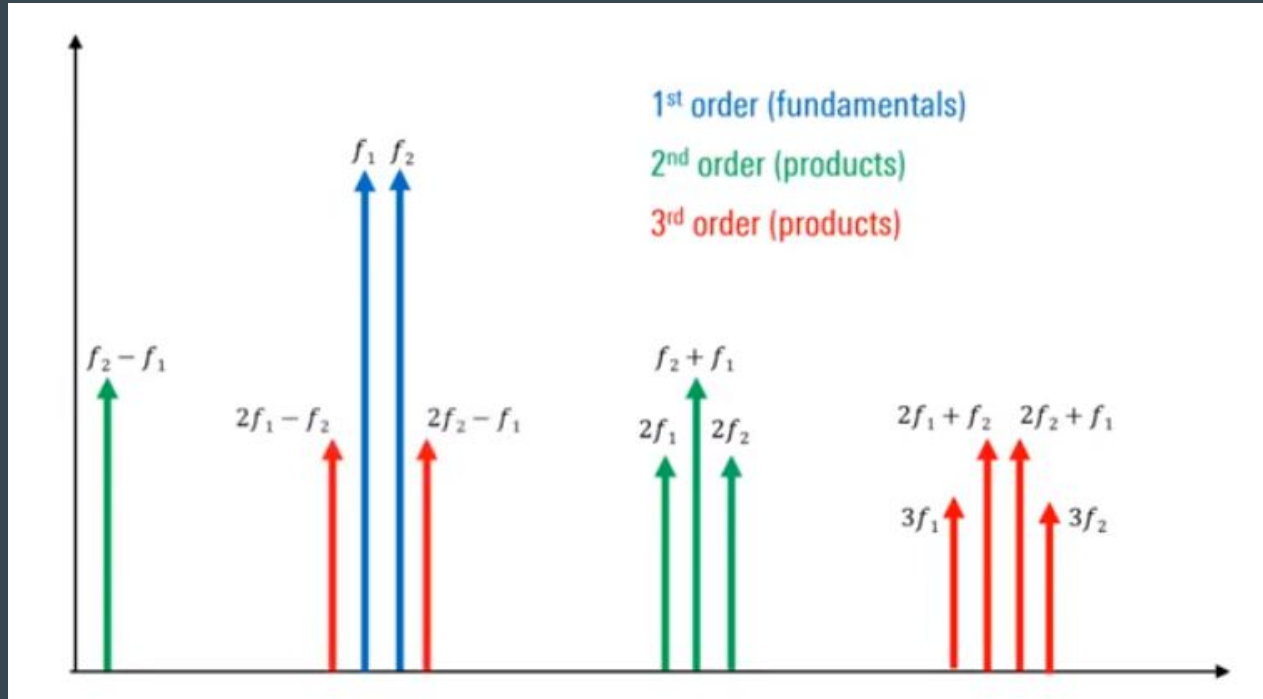
$$2f_2 + f_1$$

$$2f_2 - f_1$$

...

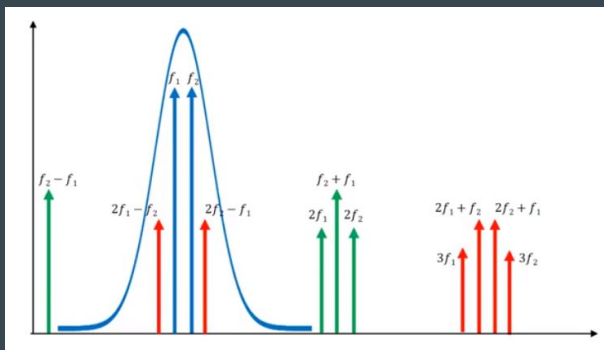
- El orden es la suma sin signo de los coeficientes
 - $2f_1$ es segundo orden (2)
 - $f_1 + f_2$ es segundo orden (1+1)
 - $3f_1$ es tercer orden (3)
 - $2f_1 - f_2$ es tercer orden (2+1)

Armónicos y productos de intermodulación



Problemas con los productos

- Armónicos y los productos son indeseables
 - Generan interferencia en los canales adyacentes, ruido o distorsión
- Intermodulación indeseable ----> se la refiere como IMD
- Algunos productos son fáciles de manejar
 - Armónicos de alto orden tienen baja amplitud
 - Productos de alta frecuencia caen fuera del ancho de banda del amp, o fuera del BPF

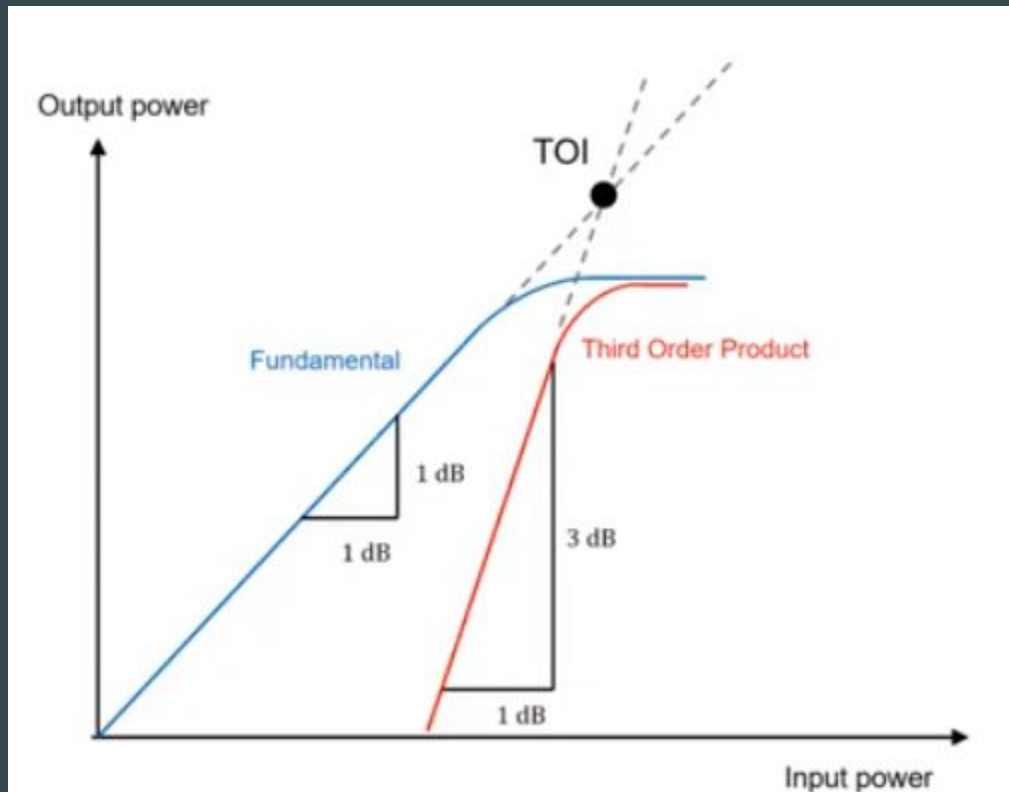


Productos difícil de sacar

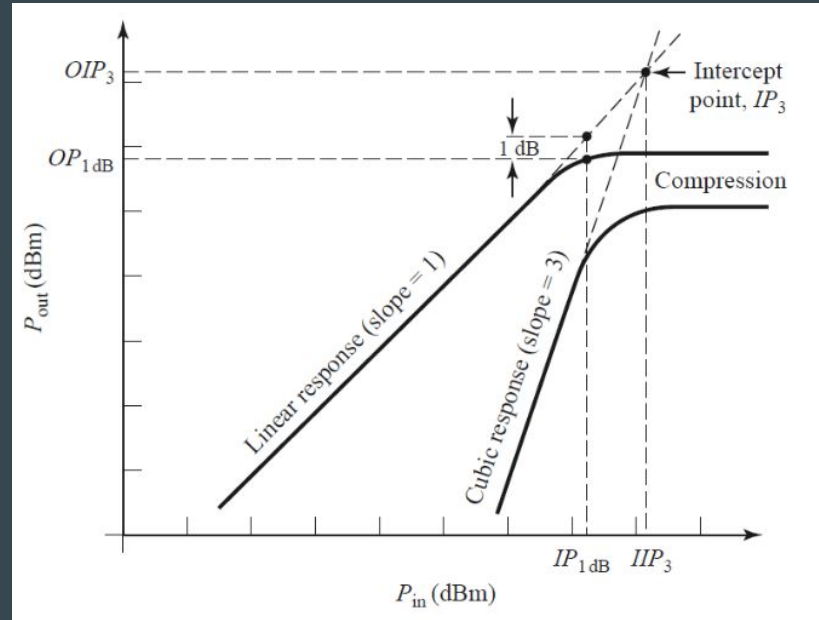
- Los productos de orden 3

$$\begin{array}{l} 2f_1 - f_2 \\ 2f_2 - f_1 \end{array}$$

- Si incremento 1dB en la fundamental y se incrementan 3dB en los productos
- Las líneas se intersectan en TOI (third order intercept) pero antes se llega a la compresión, es un punto teórico



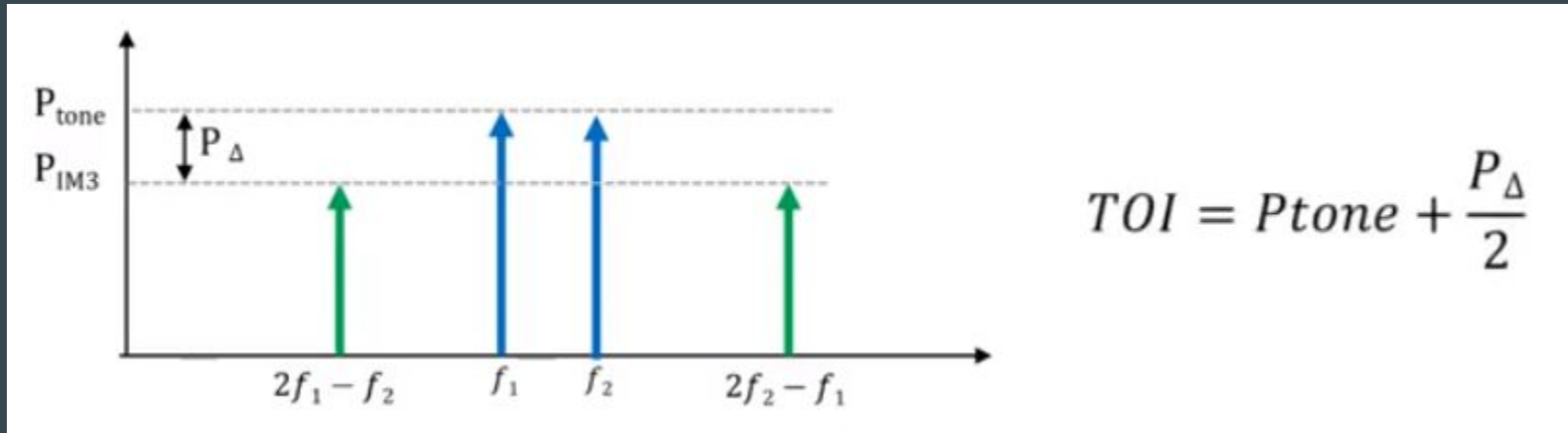
Compresión de 1dB



Usos del TOI

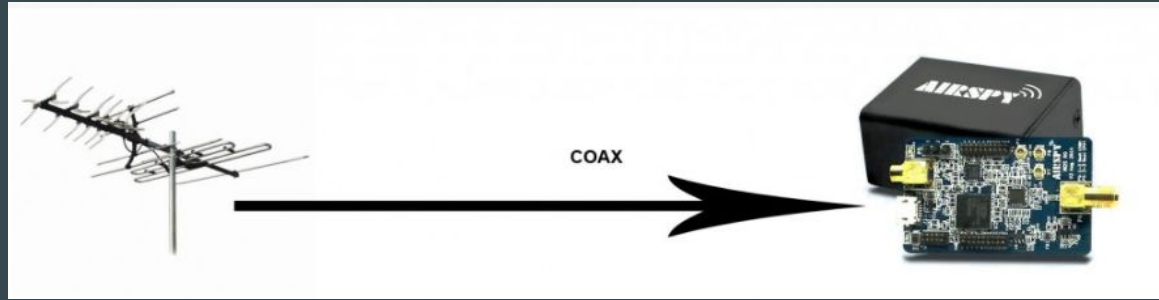
- Figura de mérito de la linealidad, cuanto más alto mejor!
- Muchas hojas de datos se refieren al TOI como IP3

Medida

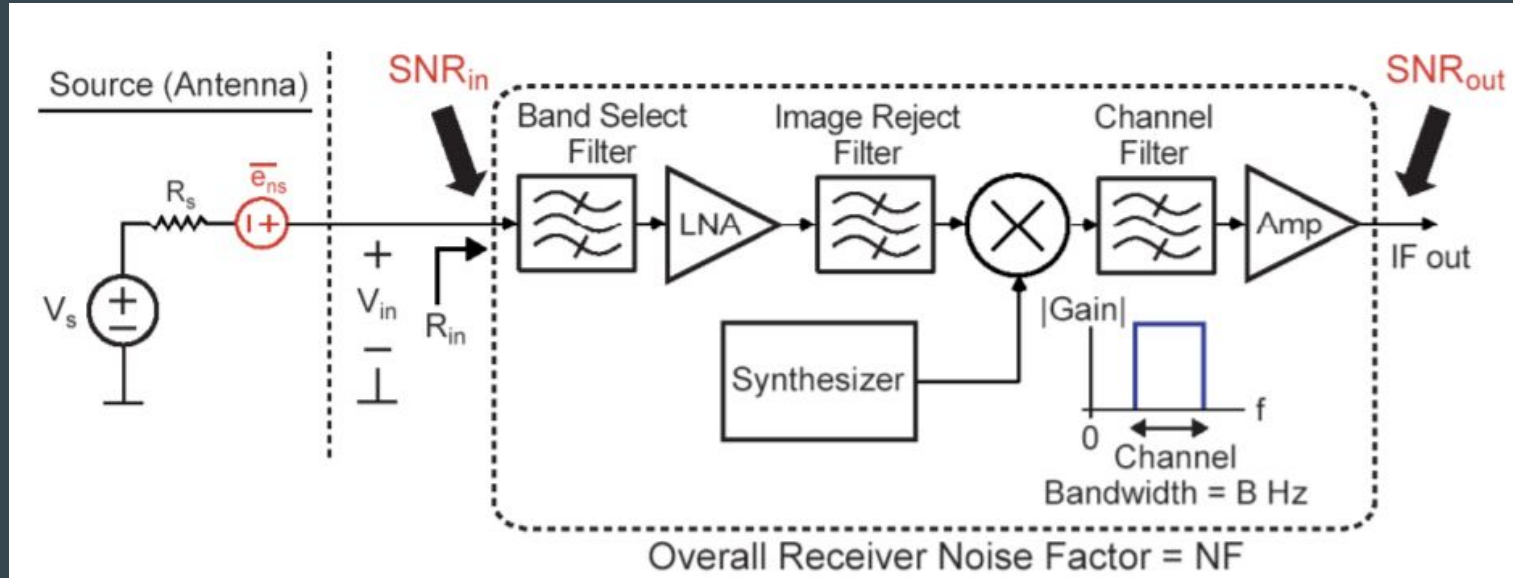


$$TOI = P_{\text{tone}} + \frac{P_{\Delta}}{2}$$

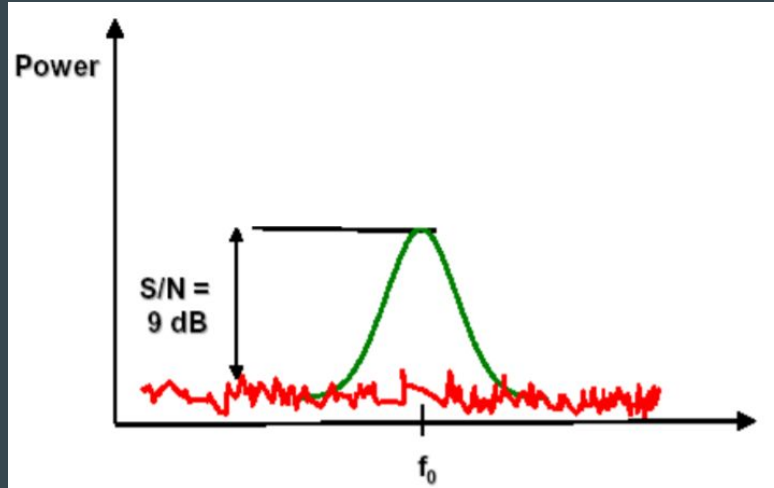
Quiero recibir con un SDR



Receptor "SDR"



SNR en detección (salida)



Especificaciones

- Pot. recibida (sensibilidad) : $P_{rx} = -108\text{dBm}$
- Ganancia de la antena $G_a = 10\text{dB}$
- Ancho del canal: $BW = 200\text{kHz}$
- Para $BER < 10^{-3}$ se necesita $SNR > 9\text{dB}$
- Figura de ruido del sistema $NF_{sys} = 6\text{dB}$
- SFDR del SDR 76dB

$$NF = (S/N)_i - (S/N)_o$$

$$P_N = 10 \log(kTB) = -174\text{dBm} + 10 \log(B)$$

$$MDS = F_{sys}kT_0B = -174\text{dBm} + NF_{sys} + 10 \log(B)$$

$$P_N = -174\text{dBm} + 10 \log(200k) = -174 + 53 = -121\text{dBm}$$

$$(S/N)_i = P_{rx} - P_N = -108 - (-121) = 13\text{dB}$$

$$(S/N)_o = (S/N)_i - NF_{sys} = 13 - 6 = 7\text{dB}$$

$$NF_{sys} = 4\text{dB}$$

La sensibilidad del sistema es $= -106\text{dBm}$

$$P_{in,min} = -174 + 10 \log(B) + NF + (SNR)_{o,min}$$

Aumentemos la sensibilidad

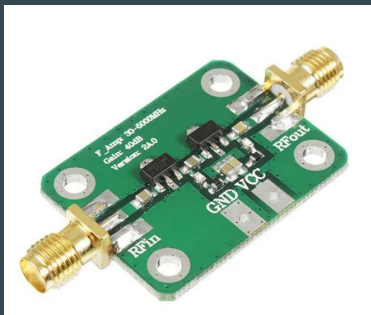
- Si coloco un amplificador para aumentar la potencia de la señal recibida, que sucede?

AVA-183P+

SMT Gain Block, 500 - 18000 MHz, 50 Ω



G= 30dB (1000)
NF= 3.1dB (2.04)
IIP3= 20dBm (100)



G= 6dB (3.98)
NF=3.5dB (2.24)
IIP3= 20dBm (100)

Aumentemos la sensibilidad

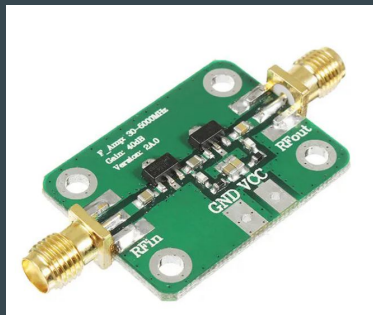
- Si coloco un amplificador para aumentar la potencia de la señal recibida, que sucede?

AVA-183P+
SMT Gain Block, 500 - 18000 MHz, 50 Ω



$G = 30\text{dB}$ (1000)
 $NF = 3.1\text{dB}$ (2.04)
 $IIP3 = 20\text{dBm}$ (100)

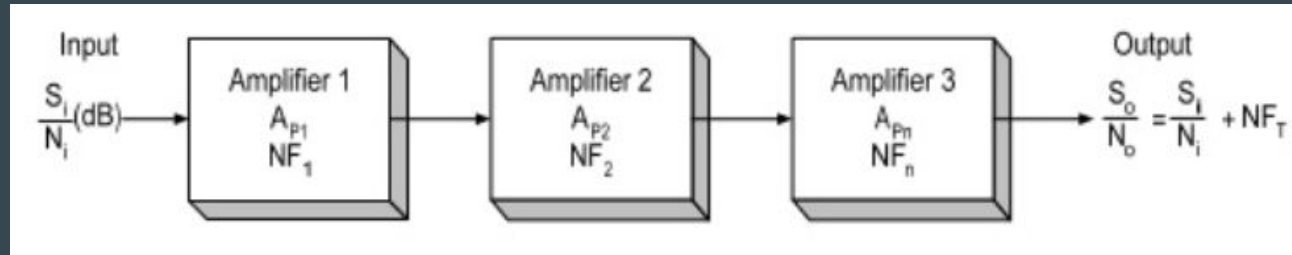
$NF_{\text{sys}} = 3.1\text{dB}$ (2.04)
 $SFDR = 56\text{dB}$
 $IIP3 = -17\text{dBm}$



$G = 6\text{dB}$ (3.98)
 $NF = 3.5\text{dB}$ (2.24)
 $IIP3 = 20\text{dBm}$ (100)

$NF_{\text{sys}} = 4.75\text{dB}$ (2.04)
 $SFDR = 74\text{dB}$
 $IIP3 = 6.8\text{dBm}$

Si utilizamos un amp?



$$F_T = F_1 + \frac{F_2 - 1}{A_1} + \frac{F_3 - 1}{A_1 A_2} + \frac{F_n - 1}{A_1 A_2 \dots A_{n-1}} \quad [\text{unitless}]$$

$$\frac{1}{IIP3} = \frac{1}{I_1} + \frac{G_1}{I_2} + \frac{G_1 G_2}{I_3} + \dots$$

Spurious Free Dynamic Range

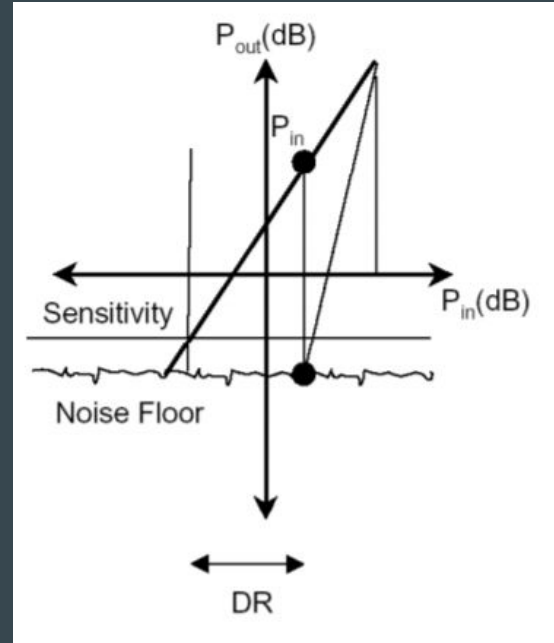
$$P_{IM} = 3P_{IN} - 2IIP3 = F + KTB$$

$$MDS = F + KTB$$

$$P_{in,sens} = MDS + (SNR)_{o,min}$$

$$SFDR = P_{in} - P_{in,sens}$$

$$SFDR = \frac{2}{3}(IIP3 - MDS) - (SNR)_{o,min}$$



Este funciona?



$G = 10\text{dB}$ (3.98)
 $NF = 1.5\text{dB}$ (2.24)
 $IIP3 = 20\text{dBm}$ (100)

Este funciona?



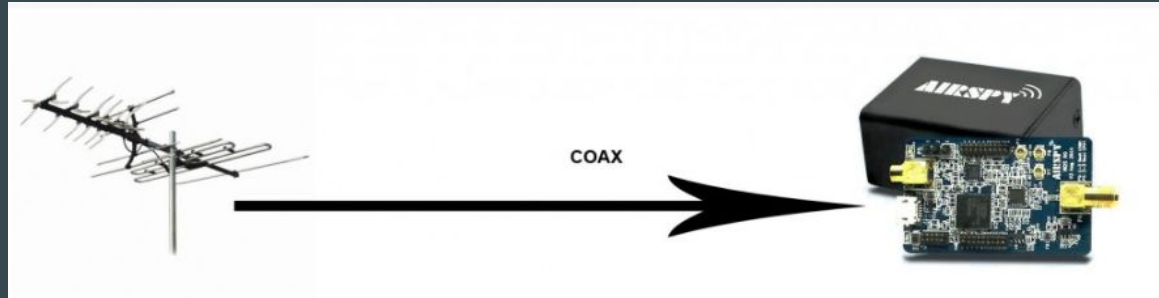
$G = 10\text{dB}$ (3.98)
 $NF = 1.5\text{dB}$ (2.24)
 $IIP3 = 20\text{dBm}$ (100)



$NF_{\text{sys}} = 2.33\text{ dB}$ (1.71)
 $SFDR = 70\text{dB}$
 $IIP3 = 2.91\text{ dBm}$

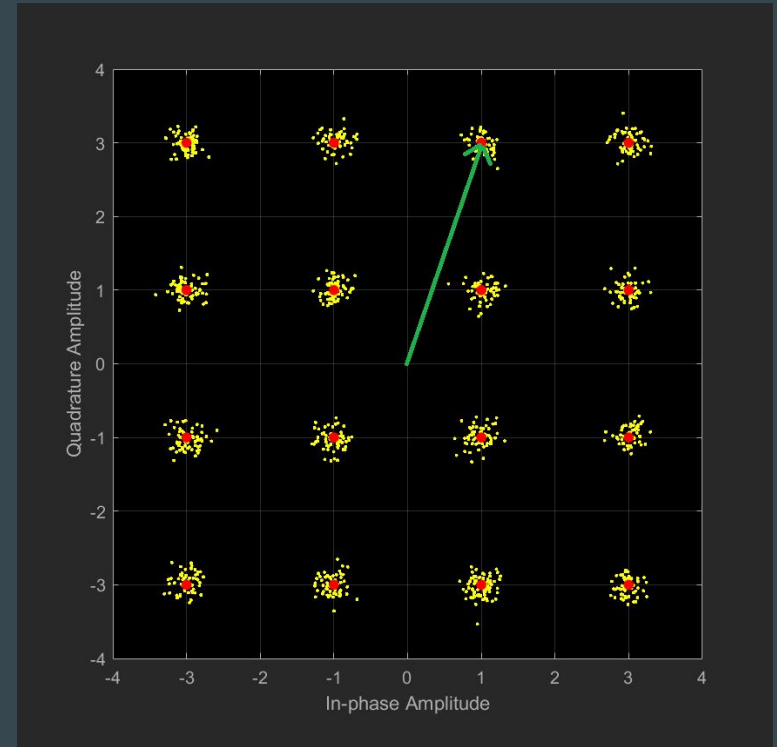


Si tengo un cable largo, que sucede?

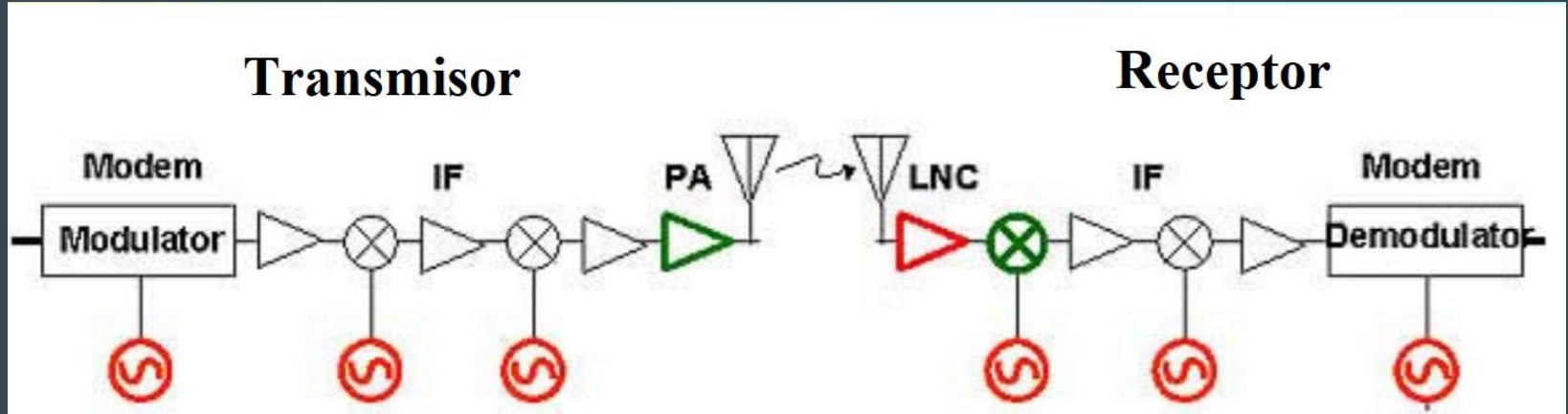


Modulación de vectores

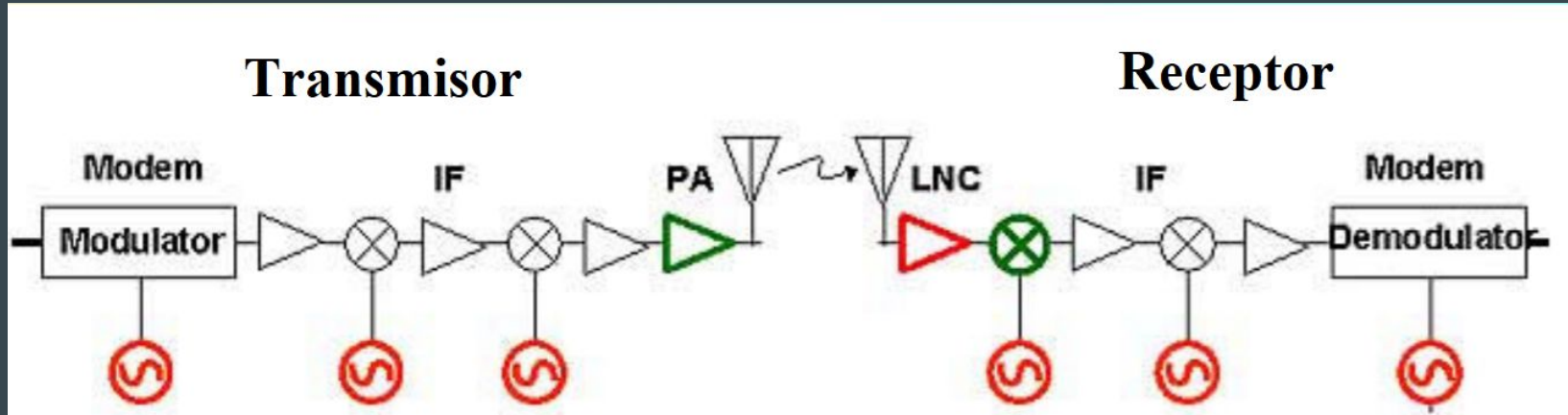
- Mod analógica mayor S/N que digital
- Eficiencia en Digital
 - ❖ Maximizada utilizando amplitud y fase vector
 - ❖ La posición del vector define el símbolo



Fuentes primarias de ruido y distorsión



Fuentes primarias de ruido y distorsión



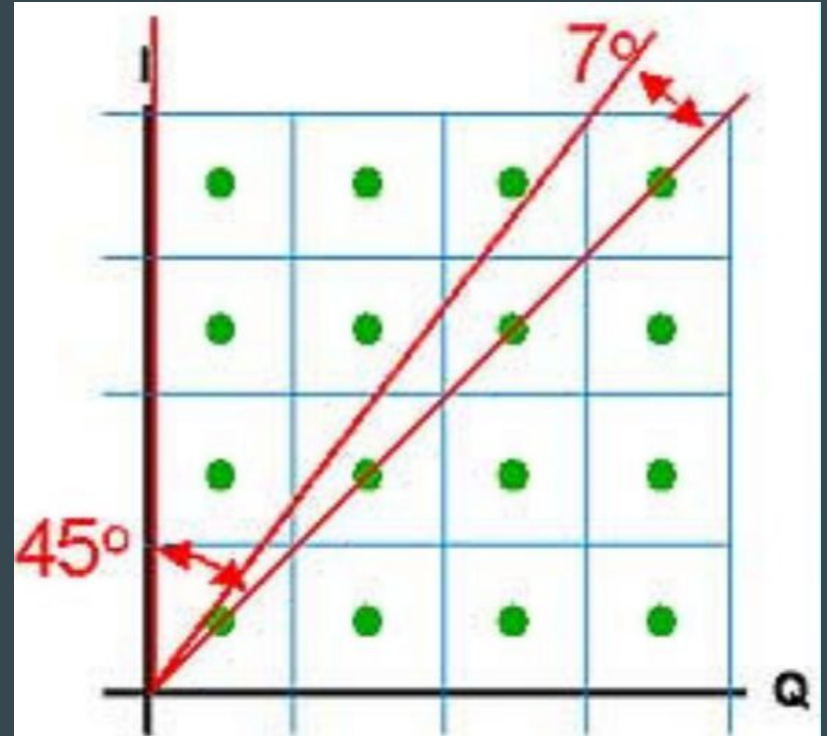
- **Ruido**
 - LO
 - LNA

- **Distorsión**
 - Mixer
 - PA
 - Filtros

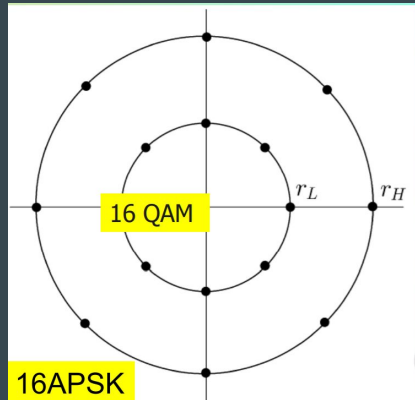
El ángulo máximo de error depende de la posición del símbolo

Los símbolos de afuera toleran menos

Modulation	Error
•2QAM	90.0°
•4QAM	45.0°
•16QAM	16.9°
•32AM	10.9°
•64QAM	7.7°
•128QAM	5.1°



16APSK es más inmune al ruido de fase que 16QAM



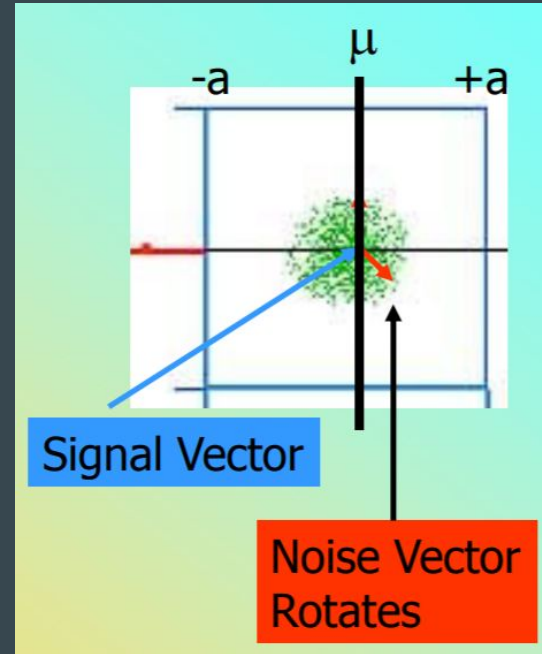
- 16QAM $\pm 16.9^\circ$
- 16APSK $\pm 22.5^\circ$

Standard Deviation & RMS Noise

$\sigma=1$ RMS Noise

μ es la señal ideal

$P(a=|4 \sigma|)$ Bit Error = 6.3×10^{-5} -

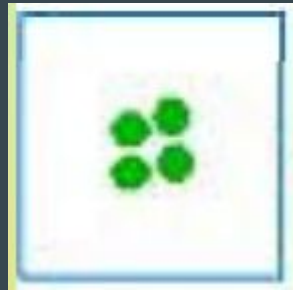


Group Delay Distortion

La cuadratura es afectada

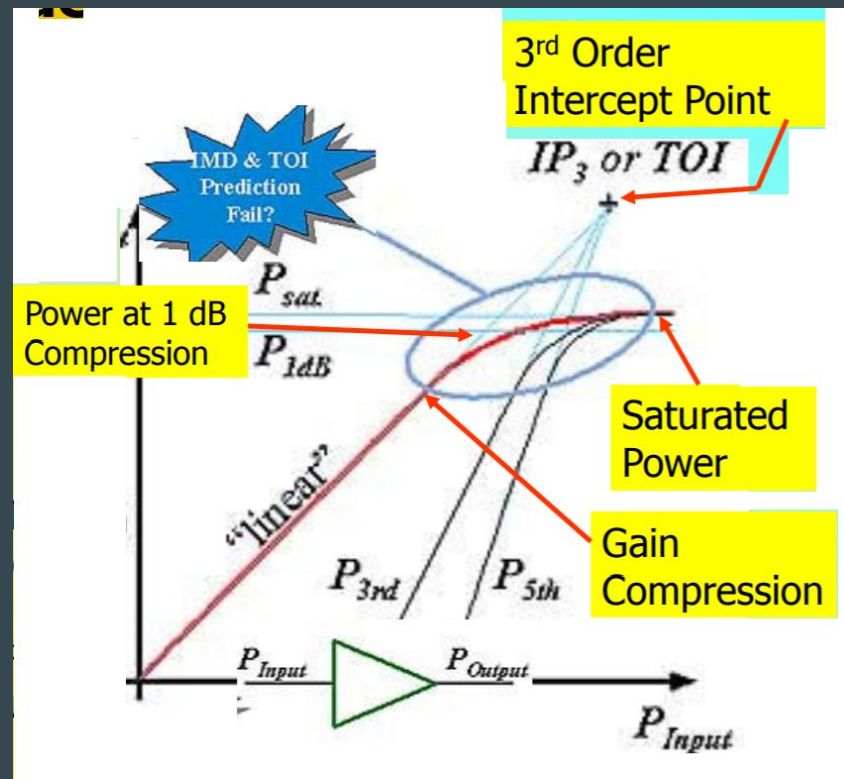
Group Delay Distortion es determinístico

Es función de la frecuencia



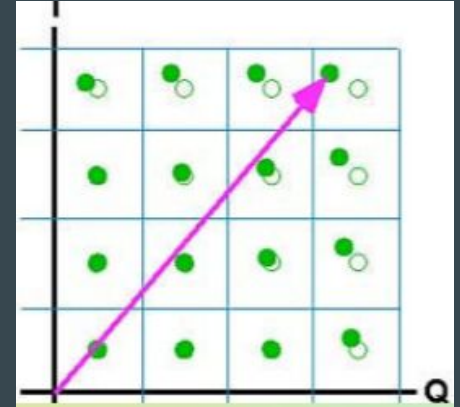
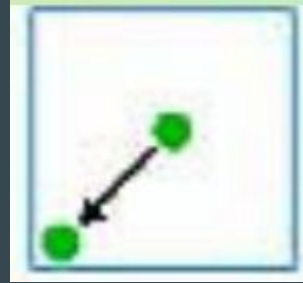
Distorsión de amplitud

- Si la señal se incrementa
 - Amplitude se comprime: AM/AM Distortion
 - Cambia la fase: AM/PM Distortion
- IMD Distortion
 - Se “crean” 2 tonos
 - Productos de 3er y 5to orden

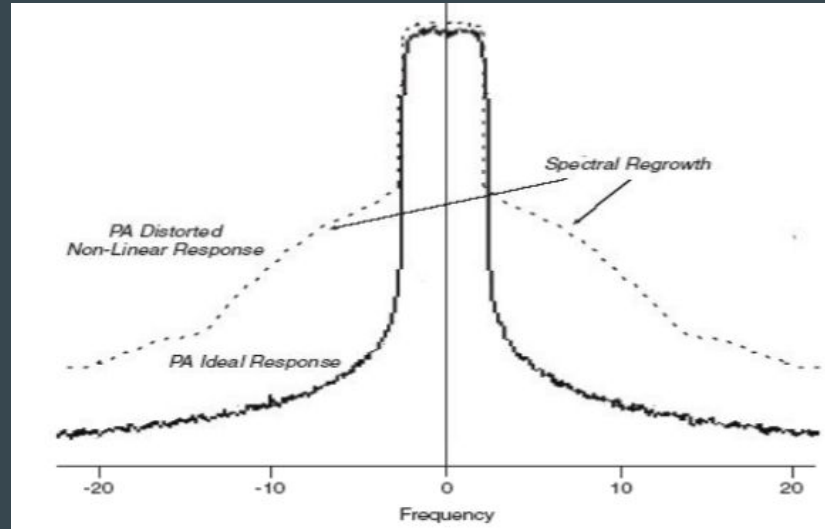


Distorsión de amplitud

- AM/AM
 - Clipping
 - Compresión de ganancia
- AM/PM
 - Offset crea AM/PM
 - Fase cambia con la amplitud
 - AM/PM ocurre antes que AM/AM
 - AM/PM es más pronunciado en los símbolos alejados
 - Peak to Average ratio has a pronounced effect on phase distortion

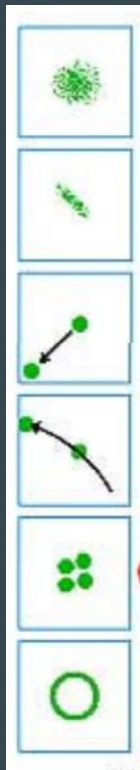


- IMD



Errores Determinísticos

- Deterministic Effects:
 - Predictable & Correctable
- AM/AM Distortion
 - Power Amplifier
 - ADC Quantization
- AM/PM Distortion
 - Power Amplifier
- Group Delay Distortion
 - Filters
- Interference-Spurious
 - Power Supply
 - 3rd Order Interference



Errores aleatorios

- Caracterizados por la distribución de probabilidad y su desviación estándar
- Estos errores son estadísticos
- Función de múltiplos de σ al umbral
- Thermal Noise – Low Noise Amplifier
- Phase Noise-Local Oscillator

Oscillator Stability

- Long Term Frequency Stability
 - Típicamente horas o años
 - Variación con la temperatura: $\Delta F / F_0$ Parts Per Million (PPM)
- Short Term Frequency Stability
 - Residual FM
 - Allen Variance
 - Phase Noise:

Phase Noise - Short Term Stability

- El ruido varía la phase/frequency del oscilador
- El nivel de ruido se incrementa en las proximidades de la portadora
 - La estabilidad cerca del “carrier” se mide utilizando la “Allen Variance”
- Rango típico de interés: **10Hz to 10MHz**
- El ruido más allá del carrier es usualmente enmascarado por ruido AM y ruido térmico
- El ruido de fase no puede ser eliminado o afectado por medio del filtrado
- Fase y frecuencia están relacionadas: Frecuencia es el cambio en la fase con respecto al tiempo $d\phi/dt$

Phase Noise - Short Term Stability

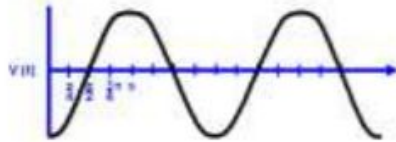
Ideal Signal

$$V(t) = A_o \sin(\omega_o(t))$$

Where:

A_o = nominal amplitude

ω_o = nominal frequency



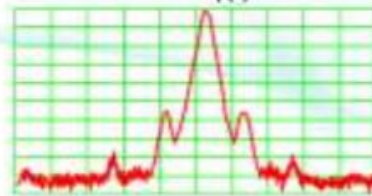
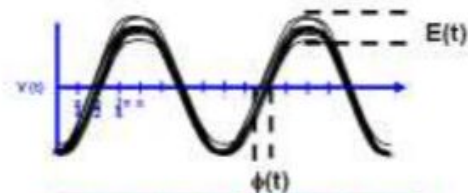
Real-World Signal

$$V(t) = (A_o + E(t)) \sin(\omega_o(t) + \phi(t))$$

Where:

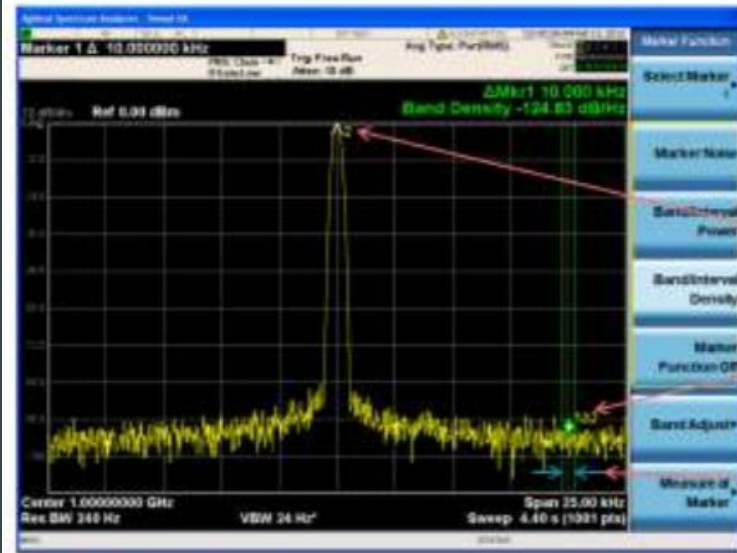
$E(t)$ = random amplitude changes

$\Phi(t)$ = random phase changes



Single Side Band (SSB) Phase Noise

$$L(f) = \frac{\text{Noise power in a 1 Hz bandwidth}}{\text{Total signal power}}$$



$$L(f) = P_n \text{ (dBm/Hz)} - P_s \text{ (dBm)}$$

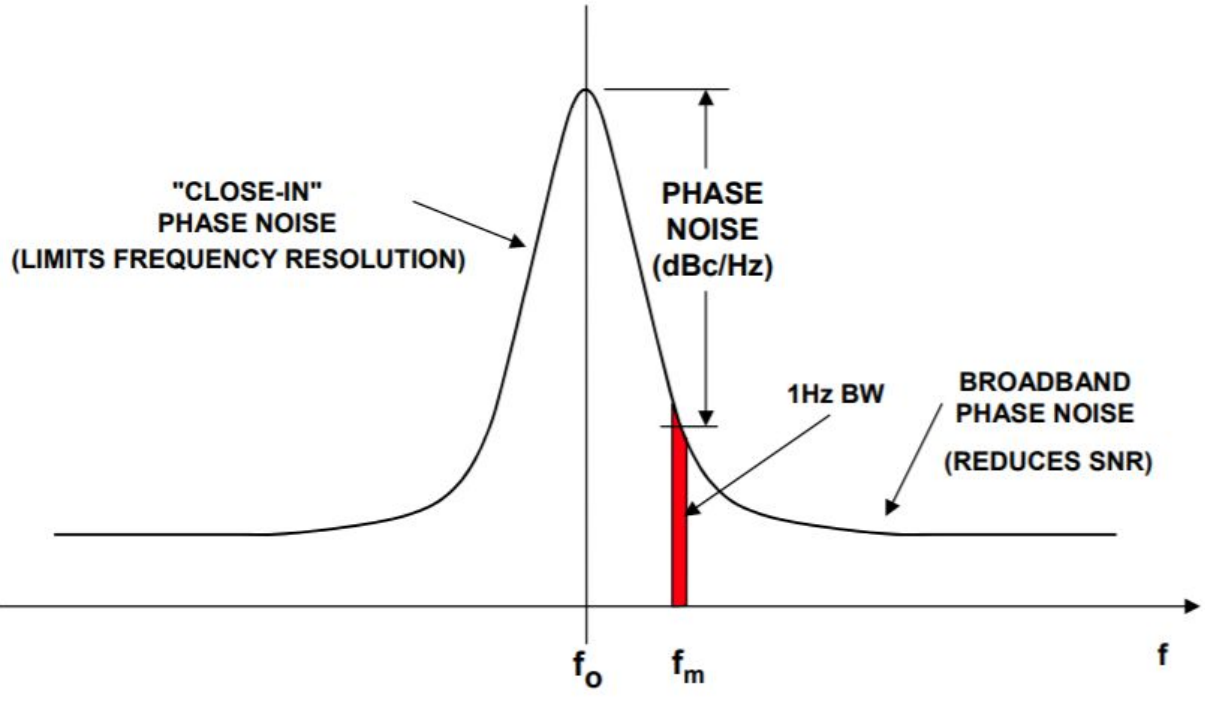
$$L(f_m) = 10 \log \left(\frac{P_{SSB}(f_m)}{P_{carrier}} \right) \text{ [dBc/Hz]}$$

P_s (dBm)

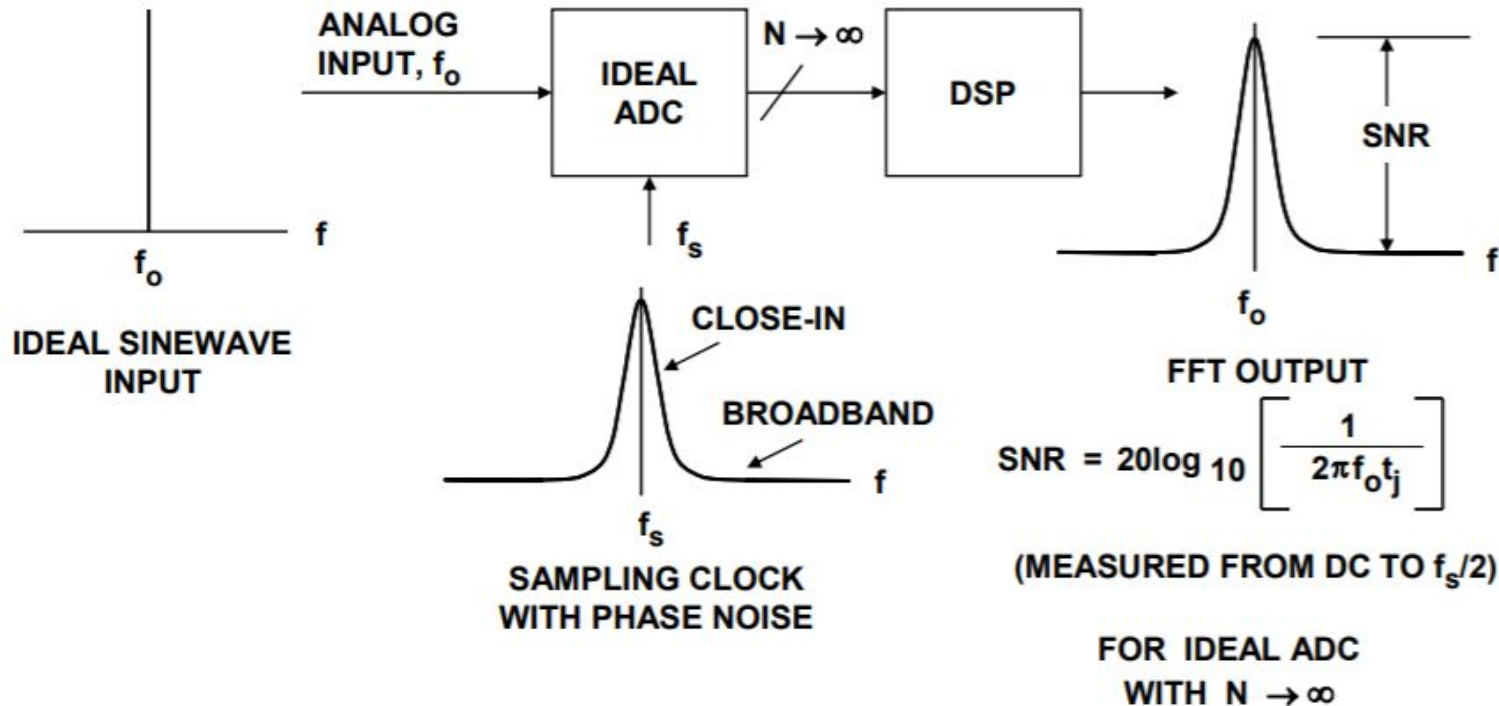
P_n (dBm/Hz)

1 Hz bandwidth,
generally normalized
to 1 Hz

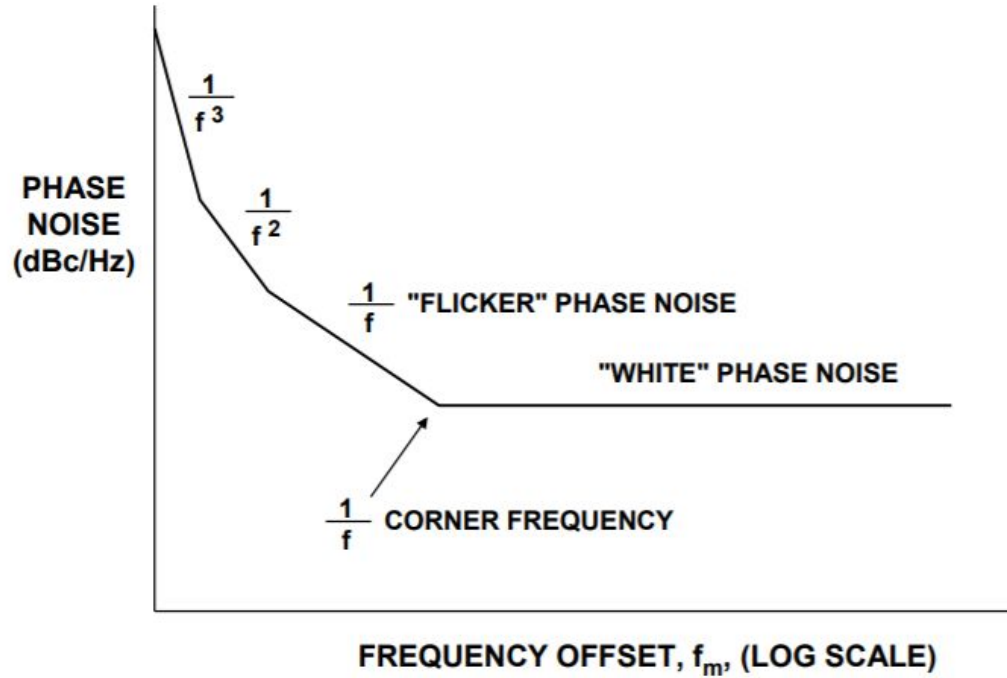
$L(f)$ = Densidad espectral de potencia de las fluctuaciones de fase

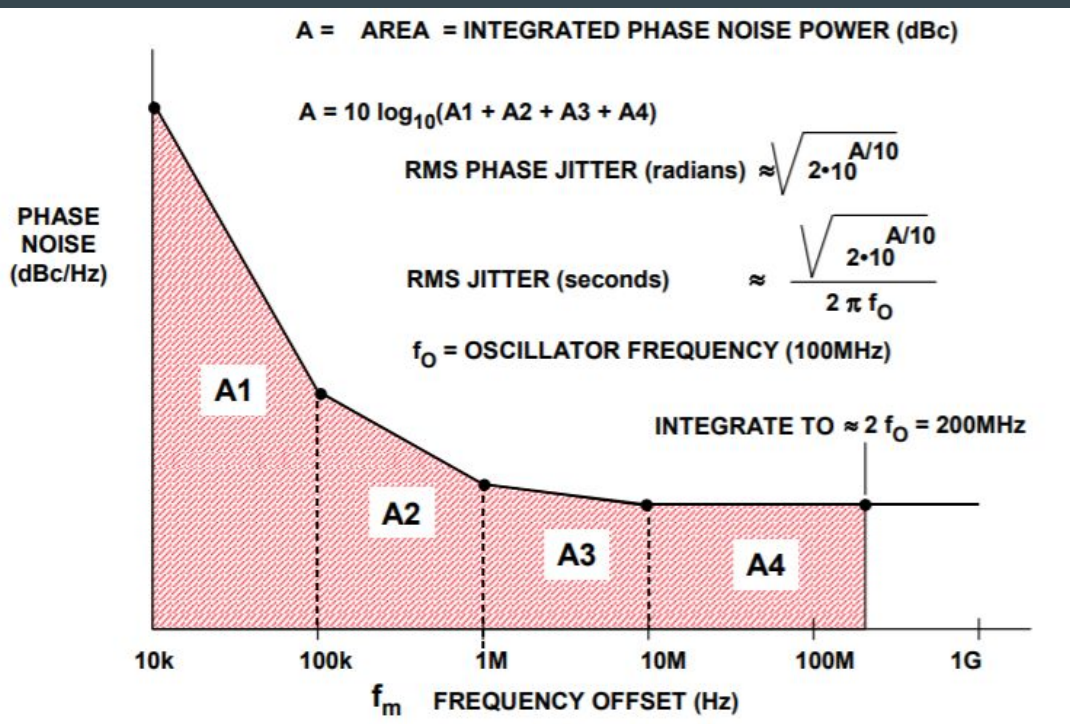


Que sucede en un ADC?



SSB Phase Noise



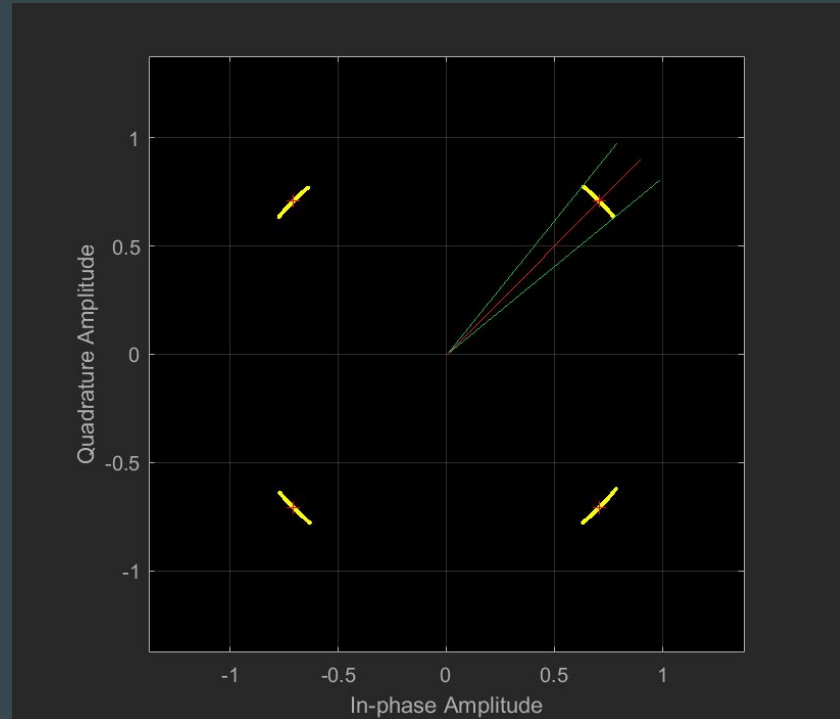


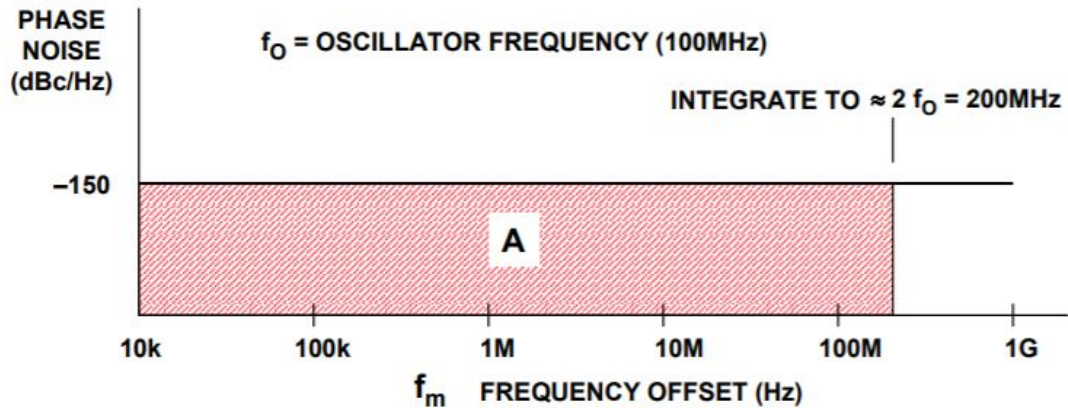
Ejemplo

- $L(f) = -60 \text{ dBc/Hz}$

$$\Delta\phi^2 = 2 \int_{f_a}^{f_b} L(f_m) df_m \quad (\text{rms})$$

$$\Delta\phi = 3.6^\circ \text{rms}$$

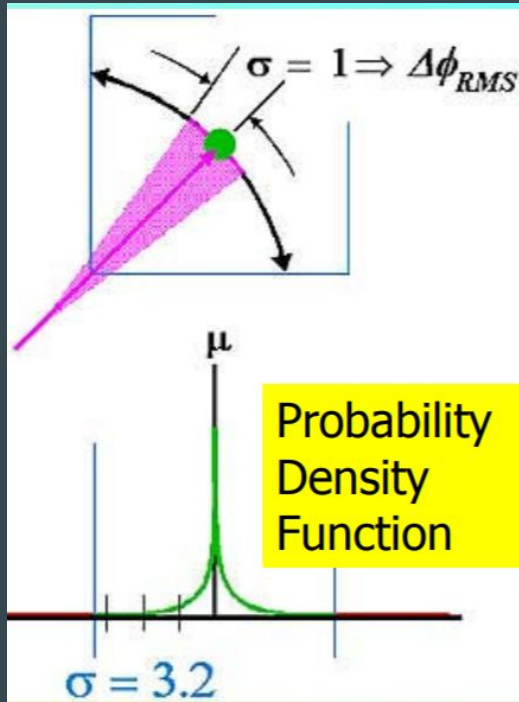




$$A = -150\text{dBc} + 10 \log_{10} [200 \times 10^6 - 0.01 \times 10^6] = -150\text{dBc} + 83\text{dB} = -67\text{dBc}$$

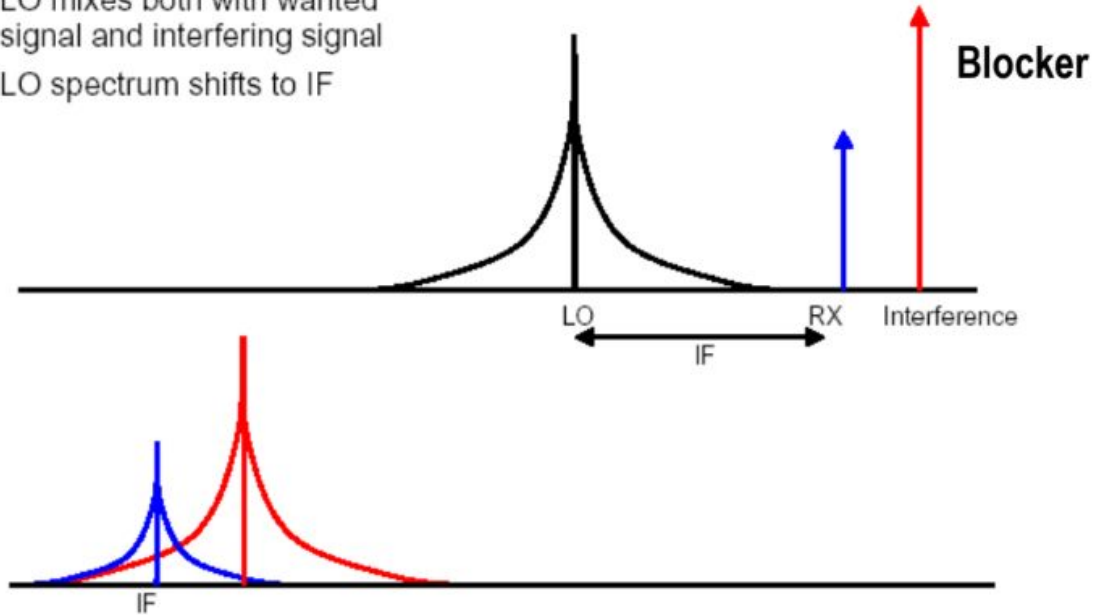
$$\text{RMS PHASE JITTER (radians)} \approx \sqrt{2 \cdot 10^{\frac{A}{10}}} = 6.32 \times 10^{-4} \text{ radians}$$

$$\text{RMS JITTER (seconds)} = \frac{\text{RMS PHASE JITTER (radians)}}{2 \pi f_0} = 1\text{ps}$$

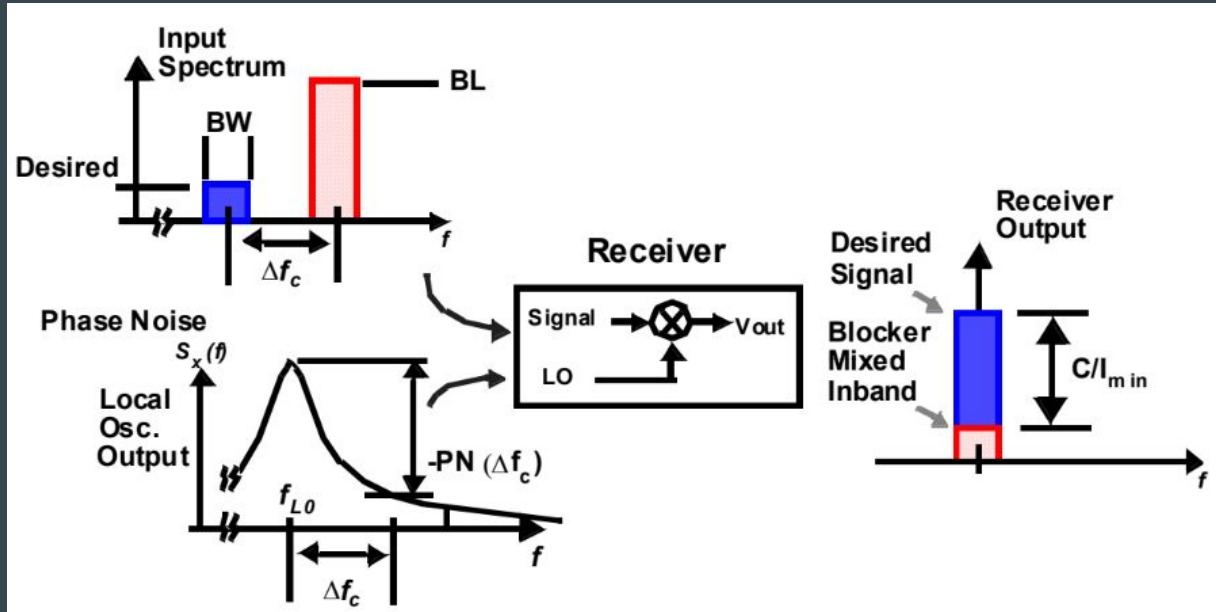


Carrier / Interferer ratio

- LO mixes both with wanted signal and interfering signal
- LO spectrum shifts to IF



Carrier / Interferer ratio



$$PN_{\Delta f_c}(\text{dBc} / \text{Hz}) = S_{\text{signal}} - S_{\text{block}} - C / I_{\text{min}}(\text{dB}) - 10 \log(BW)$$

C/I_{min} (Carrier / Interferer ratio)